



基于遗传片段分析系统的转录起始位点分析技术：从预测到结果评估

黎志凤^{1*}, 张文燕¹, 刘杨², 曲绍峰¹, 王岩¹, 朱丽萍¹, 李越中^{1*}

¹ 山东大学生命科学学院, 微生物技术国家重点实验室, 山东 济南 250100

² 山东大学数学学院, 山东 济南 250100

摘要 【目的】以遗传片段分析仪内标法替代传统放射性标记引物延伸技术进行样本转录起始位点(TSS)分析, 并弥补引物延伸技术应用于未知样本缺乏前期预测和后期评估环节, 形成一套基于遗传片段分析仪内标法分析未知样品 TSS 的完整技术方案。【方法】以粘球菌 *Myxococcus DK1622* 来源的双拷贝 *GroELs* 基因为素材; 首先从预测出发, 利用数据库进行启动子和转录起始位点预测; 其次, 根据预测结果设计合成荧光标记引物进行靶标 mRNA 的反转录; 再次, 应用遗传片段分析技术内标法鉴定分析粘球菌来源的双拷贝 *GroELs* 基因转录起始位点(TSS)及其丰度; 最后, 应用正态分布理论进行鉴定结果评估。【结果】明确了转录起始位点的数量、转录丰度及最可能的 TSS 位点: 粘球菌 DK1622 基因组中 *GroEL1* 拷贝存在 1 个启动子, TSS 位点为 TSS₂₈₆; *GroEL2* 拷贝存在 2 个启动子, TSS 位点分别为 TSS₅₄₈ 和 TSS₅₀₂, 其中 TSS₅₄₈ 转录丰度是 TSS₅₀₂ 的 13.8 倍, *GroEL1* 的 TSS₂₈₆ 丰度是 *groEL2* 的 TSS₅₄₈ 丰度的 14.3 倍。【结论】预测结果指明了实验设计的范围, 遗传片段分析仪内标检测法替代传统放射性标记法使实验更加简便、安全、自动、准确, 正态分布理论进一步评估了实验结果的可信度, 三者接合形成了完善的转录起始位点鉴定技术方案。

关键词: 片段分析系统, 转录起始位点(TSS), 转录丰度, 荧光标记引物, 引物延伸, 粘球菌, *GroEL*

基因转录起始位点(Transcription start site, TSS)分析是遗传学研究的经典内容^[1-2]。相关工作对了解并进一步研究基因的表达和调控机制有重要意义。引物延伸实验是进行 TSS 鉴定的经典技

术^[1-3]。引物延伸法基本原理是: 待测基因 mRNA 与过量的 5'末端标记的互补 DNA 引物杂交, 引物在反转录酶作用下进行延伸, 直到 TSS 终止, 通过检测延伸的 cDNA 产物长度和产量, 即可判断

基金项目: 国家自然科学基金(31370123, 30900027); 高等学校博士学科点专项科研基金(200804221017); 山东大学实验室建设软件项目(sy2008023)

*通信作者。Tel: +86-531-88363735; Fax: +86-531-88378067; E-mail: 黎志凤, lizhifeng@sdu.edu.cn; 李越中, lilab@vip.163.com
收稿日期: 2016-06-28; 修回日期: 2016-08-05; 网络出版日期: 2016-09-05

引物 5'末端与 mRNA 5'起始位点的距离(据此确定 TSS)和目标 RNA 的丰度。经典的引物延伸技术涉及放射性标记、跑变性聚丙烯胶、曝光干胶等操作，报道始于 1987 年并一直沿用至今^[1-9]。

1991 年 Voss 等应用单色荧光标记引物和自动测序仪进行技术改进^[10]，样品分析涉及延伸产物和作为参照的四碱基测序产物共 5 个泳道的检测，该方案在安全性和自动性两方面进行了很大的改善从而被学者们采用^[5]；1993 年 Myöhänen 等进一步在参照的选择和标记上进行了改进，将延伸引物的测序结果选作参照，用 4 色荧光标记实现了检测参照仅需 1 个泳道^[11]。1999 年 Altermann 等以已知启动子为实验材料，对基于测序仪的自动荧光引物延伸实验中的模板和引物浓度进行了优化摸索^[12]。上述方案中，引物延伸产物和参照均是在独立平行的毛细管中进行，通过比较两根毛细管中峰的滞留时间来判断 TSS，其结果的一致性和准确性取决于毛细管间的平行度。2003 年 Fekete 等用添加内标参照法对检测技术进一步改进，然而测试结果仍需辅助平行测序反应进行校正，作者通过对齐延伸反应和测序反应中的参照来判断 TSS^[13]。2007 年 Qi 等利用地高辛标记替代传统放射性标记^[14]，对传统技术进行了安全性改进，为精确性要求不高且无法做测序或片段分析检测的实验室提供了另一选择方案。

综上，自 1987 年引物延伸技术报道应用以来，经历了多次技术革新与改进，其中自动荧光引物延伸技术在安全、省时和自动性方面作出了很大的改进，但已报道的自动荧光引物延伸技术目前尚依赖平行测序反应，且缺乏前期预测分析和后期结果处理评估环节。为完善当前相关技术，论文拟以粘球菌 DK1622 来源的双拷贝 *groELs* 基因为研究素材^[15-17]，基于片段分析系统，建立一

套基于荧光内标法鉴定未知样本 TSS 的完整技术方案。

1 材料和方法

1.1 材料

1.1.1 菌株：*Myxococcus xanthus* DK1622^[18](粘球菌模式菌株,D. Kaiser ,Stanford University 友好馈赠)。

1.1.2 软件或数据库：NCBI Genome Database (检索获取目标序列信息)；NNPP (Neural Network Promoter Prediction ,http://www.fruitfly.org/seq_tools/promoter.html ,启动子预测识别)^[19]；BROM (<http://www.softberry.com/berry.phtml> ,启动子预测识别)；SAK (http://nostradamus.cs.rhul.ac.uk/~leo/sak_demo/ ,启动子预测识别)^[20]；PPP (http://bioinformatics.biology.nl/websoftware/ppp/ppp_start.php ,启动子预测识别)；Primer Premier 5 (引物设计)；SimVector 4 (序列注释)；Clustalx (多序列比对)；BioEdit (序列分析编辑)；NanoDrop software (RNA 质量检测)；GeXP Multiplexed Gene Expression Analysis System (片段分析系统)^[21]。

1.1.3 试剂：RNAlater (Qiagen)；SV Total RNA Isolation System (Promega) ;DNA-free kit (Takara)；PrimeScript™ Reverse Transcriptase 试剂盒 (TaKaRa)；Sample loading solution (SLS ,Beckman Coulter Inc)；Size Standard-600 (Beckman Coulter Inc)；5×RNA 固定/保护缓冲液(95%无水乙醇+5% pH 4.5 的酸酚)；分子生物学及生化试剂均为分析纯。

1.1.4 仪器：GeXP Multiplexed Gene Expression Analysis System (Beckman) ;ND-1000 Spectrophotometer (NanoDrop Technologies , Inc.)；其它常规分子生物学仪器等。

1.2 启动子预测分析与引物设计

登入 NCBI 数据库 ,由 *Myxococcus xanthus* DK 1622 菌株基因组序列记录号(CP000113) ,检索并获取 *GroEL1* 和 *GroEL2* 及其上下游序列(*groEL1* : 6125113-6127957 ; *groEL2* : 5532695-5530361) , 提交多个启动子预测识别数据库执行启动子及 TSS 在线预测。借助 Primer Premier 5 软件在预测 TSS 下游设计并合成反向 Cy5 荧光标记引物(**GroEL1R* : 5'-TCCGTTGGCAACCGAAAGC-3' 和 **GroEL2R* : 5'-GCGGACTGATGGAAGAAAAT-3') , 同时在预测的 TSS 上游设计正向常规引物(*GroEL1F* : 5'-GGAGACCTGGGAAGCGTAGC-3' 和 *GroEL2F* : 5'-TGGGTTCACGGTCTACTC-3') , 荧光标记借由磷氨基团连接器(phosphoramidite linker)连接至引物末端 , 引物由上海生物工程公司合成。借助 BioEdit 软件将 DK 1622 基因组数据库本地化并考查反向引物特异性。借助 SimVector 4 软件对预测结果进行注释。

1.3 RNA 的制备纯化与质检

将 DK 1622 转接到 CTT 液体培养基中 30°C 培养至对数期(细胞密度达 $10^8\text{-}10^9$ 个/mL) , 取 1 mL 培养菌体 , 加入 250 μL RNAlater^[22] 或者 5×RNA 固定/保护缓冲液^[23-24] , 离心 , 弃上清 ; 依 RNA 提取试剂盒制备 RNA ; 用 DNA-free kit 对 RNA 样品进行除 DNA 处理。RNA 纯化后 , 稀释 10 倍 , 用 ND-1000 分光光度计进行质量评估。

1.4 反转录扩增与产物纯化

取 5 μg RNA 依据 PrimeScriptTM Reverse Transcriptase 试剂盒说明书配制反转录操作体系 , 于 50°C 下反转录 1 h。加入 Glycogen、NaOAC 和乙醇对样品进行除盐纯化处理 , 并重悬于等体积的 SLS 中。

1.5 荧光 cDNA 片段检测与数据分析处理

40 μL SLS 样品中加入 0.5 μL Size Standard-600 进行混合 , 载入上样板 , 编辑程序 , 设置仪器参数(毛细管温度 : 50°C 预热 \rightarrow 变性 : 90°C 120 s \rightarrow 注射电压 : 2.0 KV 30 s \rightarrow 分离电压 : 4.8 KV 80 min) , 启动片段分析仪进行毛细管电泳分离与检测。输出结果用遗传片段分析系统 GeXP Multiplexed Gene Expression Analysis System 进行处理分析 , 设置分析参数(染料迁移校正 : PA ver.1 ; 斜率阈值 : 50 ; 置信水准 : 99% ; 染料谱图 : 使用校正的染料谱 ; 内标 : SizeStandard-600 ; 使用的染料 : D1 ; 模型 : Quartic)。

1.6 TSS 位点定位概率分析

根据内标 SizeStandard-600 标准曲线 , 软件分析给出的标准偏差值 , 定义为 σ ; 根据待测荧光 cDNA 片段迁移时间 , 依标准曲线由软件分析给出的片段测量大小值 , 定义为随机变量 ε ; 可能的实际片段大小值定义为 a ; 对于 $\varepsilon \sim N(a, \sigma^2)$, 记 $\eta = \frac{\varepsilon - a}{\sigma}$, 则 η 服从 $N(0,1)$; η 的分布函数依公式 : $P(\eta > x) = P(\varepsilon > \sigma x + a) = \Phi(x)$; 当 $x > 0$ 时 , 依正态分布函数数值表查询 $\Phi(x)$ 即可计算概率 P 值 ; 而 $\Phi(-x) = 1 - \Phi(x)$, 由此 , $\Phi(-x)$ 值也依正态分布函数数值表查询计算出其概率 P 值。“ 3σ 原则” : 正态随机变量的测量值 99.73% 的概率落在 $(a - 3\sigma, a + 3\sigma)$ 之中 , 落在该区间之外的概率几乎为零^[25-26]。

2 结果和分析

2.1 启动子预测与注释

Myxococcus xanthus DK 1622 菌株基因组中含有 2 个 *groEL* 基因。*groEL1*(MXAN_4895) 与上

游 *groES* 形成操纵子，而 *groEL2*(MXAN_4467) 上游无 *groES*。利用多个数据库对启动子及 TSS 进行了预测。综合预测结果显示(图 1)，在 0.4 的阈值条件下，*groEL1* 上游非编码区预测出一个可能的启动子，TSS 位于 280 bp 处，TSS₂₈₀ 与翻译

起始位点(Translation start site , TLS)ATG 的距离 TSS₂₈₀-TLS 为 128 bp。而 *groEL2* 上游非编码区预测出 2 个可能的启动子，TSS 分别位于 502 bp 和 550 bp 处，TSS₅₀₂-TLS 为 68 bp，TSS₅₅₀-TLS 距离为 20 bp。

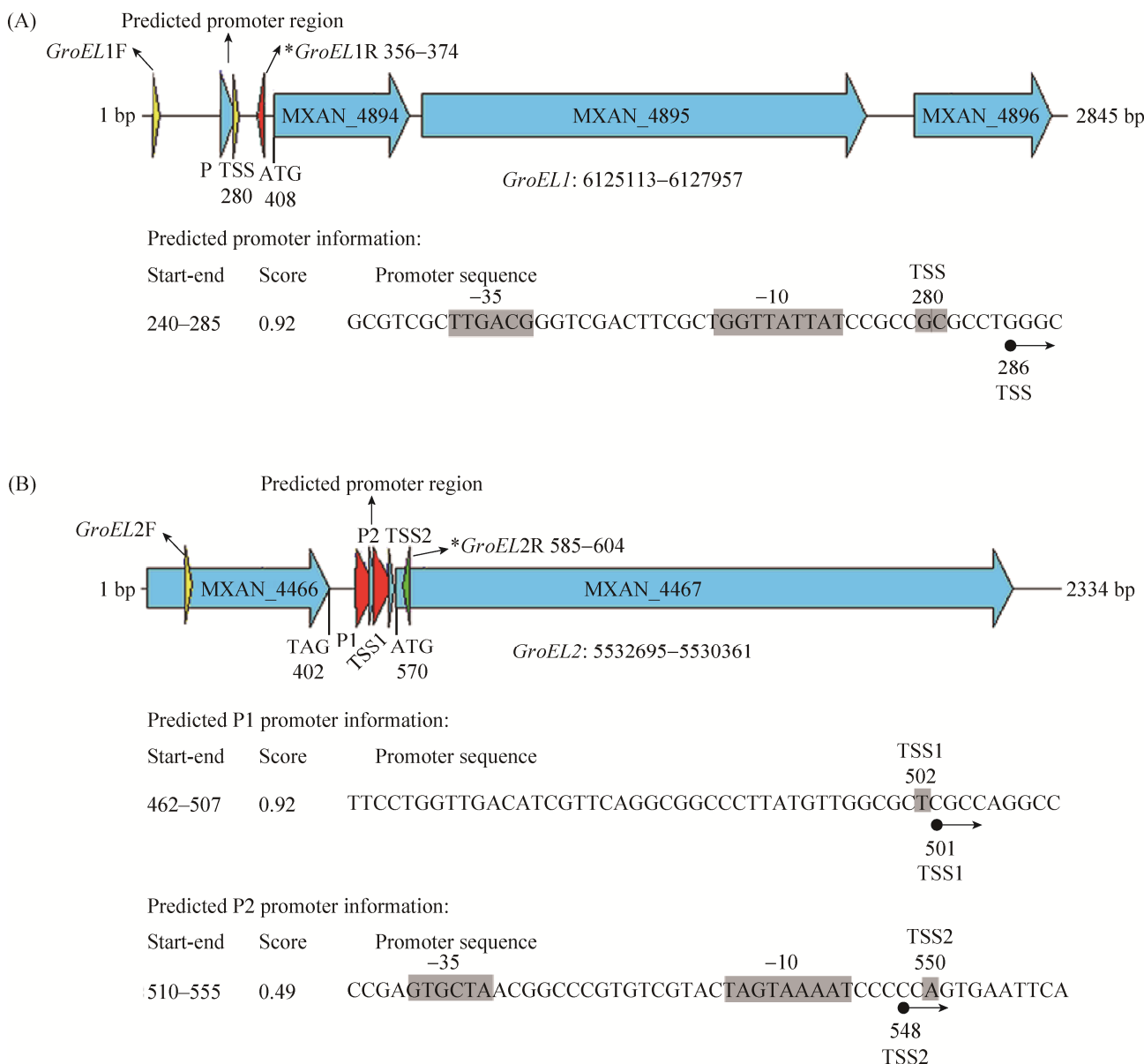


图 1. 双拷贝 *groELs* 启动子预测注释结果及设计的引物位置分布图

Figure 1. The predicted promoters annotation of the two *groELs* and the location of designed primers (The shadow labelled the predicted TSS sites and the bold bases indicate the most likely TSS from experiments). A: *GroEL1*; B: *GroEL2*.

2.2 引物设计与特异性

在预测的 TSS 下游 100 bp 左右的位置择优选择设计了反向 Cy5 荧光标记引物^{*}*GroEL1R* 和^{*}*GroEL2R*。其中^{*}*GroEL1R* 距预测的 Tss 距离长度为 95 bp ,^{*}*GroEL2R* 距预测的 2 个 TSS 位点的距离长度分别为 55 bp 和 103 bp (图 1)。Primer premier 分析结果显示 : 引物^{*}*GroEL2R* 无任何二级结构 , 而引物^{*}*GroEL1R* 则在自身 5' 端形成二聚体 , 能值为 -5.2 kcals/mol。Bioedit 建库本地化比对 *Myxococcus xanthus* DK 1622 基因组数据分析结果显示 :^{*}*GroEL2R* 存在 3' 处潜在的错配位点

(6764101–6764087 , 8556774–8556762 和 5611885–5611873) , 这些错配位点在引物的 3' 末端存在连续的 2 至 7 不匹配碱基 , 理论上不易引发错配延伸反应。^{*}*GroEL1R* 在整个基因组中预测无任何错配信息。利用常规 PCR 扩增检测引物效率和特异性 , *groEL1* 验证引物对 *GroEL1F*-^{*}*GroEL1R* 扩增产物长 491 bp , *groEL2* 验证引物对 *GroEL2F*-^{*}*GroEL2R* 扩增产物长 340 bp。电泳结果显示上述引物有很好的特异性 , *GroEL1F*-^{*}*GroEL1R* 扩增产物前端存在引物二聚体 , 目标产物扩增效率较 *GroEL2F*-^{*}*GroEL2R* 低 (图 2)。

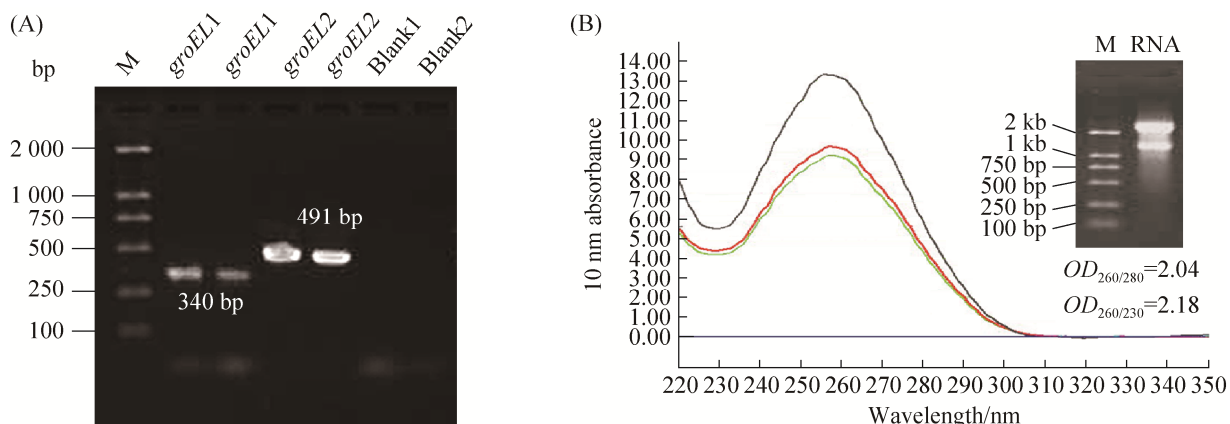


图 2. 引物扩增效率与 RNA 质量检测

Figure 2. Detections of nucleic acid samples. A: efficiency of primers amplification; B: RNA quality detection.

2.3 反转录产物荧光 cDNA 片段检测

制备的 RNA 样品检测值为 : 样品原始浓度 3.83 $\mu\text{g}/\mu\text{L}$ 23S rRNA 亮度约为 16S rRNA 的 2 倍 , $OD_{260/280}$ 值为 2.04 , $OD_{260/230}$ 为 2.18 , 因此从完整性和纯度方面 , RNA 样本质量较理想(图 2)。

反向荧光标记引物与纯化后的 RNA 样品执行反转录并纯化后 , 加入内标执行荧光片段延伸产物检测分析 , 样品在 Beckman CEQ 片段分析仪中检测结果见图 3 , 蓝色为样品峰 , 红色为内标。内标的线性标准曲线图拟合很好 , *groEL1* 的相关系数

值为 0.999996 , 标准偏差在 0.38 bp , *groEL2* 相关系数值为 0.999997 , 标准偏差在 0.35 bp。图 3-A 内标中 60 bp 参照峰的面积为 $2.58 \times 10^4 \text{ rfu} \times \text{mm}$ (相对荧光强度单位 rfu 乘以半峰宽单位 mm) , 样品中检测到 1 个启动子峰 , 该 *groEL1-P* 峰面积高达 $1.57 \times 10^5 \text{ rfu} \times \text{mm}$, 片段测量大小 89.14 bp。图 3B 内标中 60 bp 参照峰的面积为 $2.36 \times 10^4 \text{ rfu} \times \text{mm}$, 检测到 2 个明显的样品峰 , 高丰度片段 *groEL2-P2* 信号面积值为 $5.30 \times 10^4 \text{ rfu} \times \text{mm}$, 测量大小为 56.92 bp ; 低丰片段 *groEL2-P1* 信号强度为 $3.84 \times 10^3 \text{ rfu} \times \text{mm}$, 测量大小为 102.24 bp。

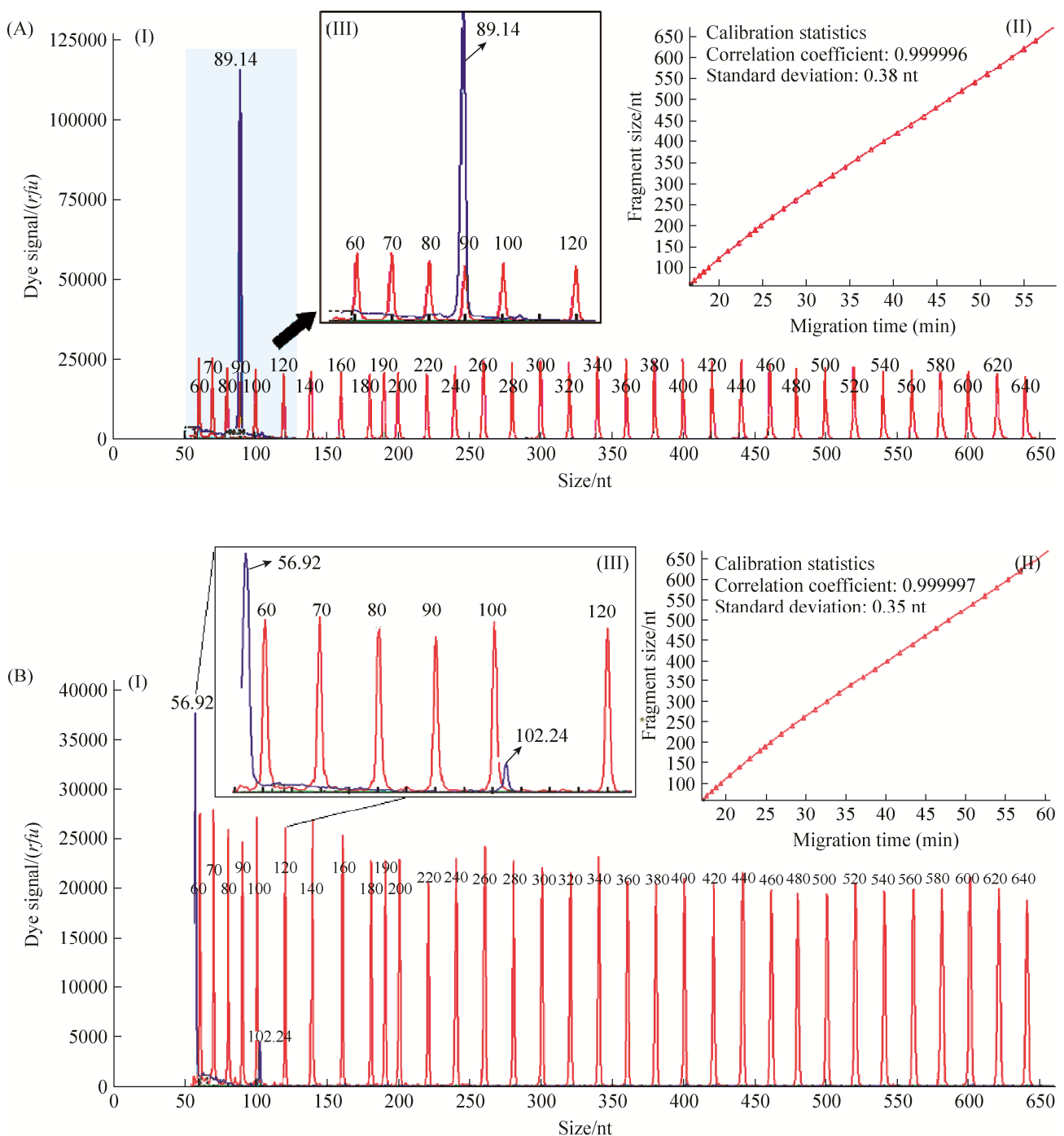


图 3. 基于遗传片段分析系统的荧光片段检测分析结果

Figure 3. The fragment analysis results, the blue is sample peak, the red is standard. A: *GroEL1* primer extension product results (I. The original full result; II. The electrophoresis standard curve of size standard-600 marker and its confidence; III. The zoomed-in region on the 60–120 bp). B: *GroEL2* primer extension product results (I. The original full result; II. The electrophoresis standard curve of size standard-600 marker and its confidence; III. The zoomed-in region on the 50–120 bp).

2.4 TSS 最可能位点定位的概率分析

依“ 3σ 原则”：测量值落在 $(a - 3\sigma, a + 3\sigma)$ 之中的概率是 99.73%，落在该区间之外的概率几乎为零。因此，测量值 ε 满足： $a - 3\sigma < \varepsilon < a + 3\sigma$ 。就 *groEL2-P2* 而言，测量值 $\varepsilon = 56.92, \sigma = 0.35$ ，即得 $55.87 < a < 57.97$ ，而 a 表征的是片段的实际长度，取整数，因此 a 值只能是 56 或者 57。更进一步，对测量值 $\varepsilon = 56.92$ 而言，当 $55 < a < 57$ 时，设： $a \sim N(56.92, 0.35^2)$ ，则

$$\begin{aligned} P(55 < a < 57) &= P\left(\frac{55 - 56.92}{0.35} < \eta < \frac{57 - 56.92}{0.35}\right) = \\ &P(-5.48571 < \eta < 0.228571) = \\ &\Phi(0.228571) - \Phi(-5.48571) = \\ &\Phi(0.228571) + \Phi(5.48571) - 1 \approx 0.591 \end{aligned}$$

而当 $56 < a < 58$ 时，又 $a \sim N(56.92, 0.35^2)$ ，则

$$\begin{aligned} P(56 < a < 58) &= P\left(\frac{56 - 56.92}{0.35} < \eta < \frac{58 - 56.92}{0.35}\right) = \\ &\Phi(3.085714) + \Phi(2.62857) - 1 \approx 0.9957 \end{aligned}$$

因此测量值 $\varepsilon = 56.92$ ，由实际值 57 测量波动而来的概率是 99.57%，而由 56 测量波动而来的概率是 59.1%。因此 *groEL2-P2* TSS 最可能是 57 bp，概率为 99.57%。

同理，*groEL2-P1* 测量值 $\varepsilon = 102.24, \sigma = 0.35$ ，由“ 3σ 原则”及取整，*groEL2-P1* 中的 a 值只能是 102 或者 103；当 $101 < a < 103$ 时，对测量值 $\varepsilon = 102.24$ 而言，设： $a \sim N(102.24, 0.35^2)$ ，则 $P(101 < a < 103) = \Phi(2.171429) - \Phi(-3.54285714) \approx 0.9848$ ；而当 $102 < a < 104$ 时， $P(102 < a < 104) = 0.7549$ ；由此，测量值 $\varepsilon = 102.24$ ，由实际值 102 测量波动而来的概率是 97.66%，而由 103 测量波动而来的概率是 75.49%，因此 *groEL2-P1* TSS 最可能是 102 bp，概率为 97.66%。

同理，*groEL1-P* 测量值 $\varepsilon = 89.14, \sigma = 0.38$ ，由“ 3σ 原则”及取整，*groEL1-P* 的 a 值只能是 89 或

者 90。对测量值 $\varepsilon = 89.14$ 而言，设 $a \sim N(89.14, 0.38^2)$ ，则 $P(88 < a < 90) \approx 0.9868$ ，而 $P(89 < a < 91) \approx 0.6443$ ；因此 *groEL1-P* TSS 最可能是 89 bp，概率为 98.68%。

3 讨论

以粘球菌 *GroELs* 基因启动子为素材，鉴定结果表明：粘球菌 DK1622 基因组中的 *GroEL1* 拷贝中仅存在 1 个启动子，*groEL1-P* 引物延伸产物长度和 TSS 位点分别为 89 bp 和 TSS286；*GroEL2* 拷贝存在 2 个启动子，其引物延伸产物长度和 TSS 位点分别为 *groEL2-P1*：57 bp，TSS548 和 *groEL2-P2*：102 bp，TSS502；在所检测的 RNA 状态中 *groEL2-P1* TSS548 转录丰度是 *groEL2-P2* TSS502 的 13.8 倍，*groEL1-P* 的 TSS286 丰度是 *groEL2-P1* TSS548 丰度的 14.3 倍，与前期基因表达功能实验吻合^[15-16]。

对于未知样品，开展实验前，充分的生物信息学预测分析对实验顺利开展有很好的方向性指导。然而，没有一种预测方法能保证 100% 的敏感性和正确性。借助几种不同的方法进行预测，若能得出类似的结果，则该预测结果在一定程度上可参考。目前，原核生物启动子 TSS 预测注释资源包括基于 TATA box 和 Inr 局部信息预测的 NNPP^[15]，基于功能 motifs 和寡核苷酸信息预测的 BPROM，Gordon 等开发的基于整个启动子信号的 SAK^[20]，基于隐马模型预测的 PPP。NNPP 给出了预测的启动子区段及其 TSS；BPROM 给出了预测的 TSS 和可能的-10、-35 区；而 SAK 则给出了所有可能的 TSS 碱基区段，及各碱基预测为 TSS 的得分情况。以粘球菌 *groEL2* 为例，NNPP 数据库在 0.4 的阈值下预测出 2 个可能的启动子；

BPROM 数据库仅预测到 1 个启动子 , 该启动子与 NNPP 数据库预测结果之一吻合 ; SAK 数据库预测结果中包含了 NNPP 、 BPROM 中预测的 TSS 。实验鉴定结果表明 *groEL2* 确实存在 2 个启动子 , 但预测的 TSS 位点存在偏差。因此 , 生物信息学预测能够很好地帮我们定位延伸引物的设计范围 , 但预测结果准确性需实验修正。

从荧光片段分析结果看 , 无论 **GroEL2R* 还是 **GroEL1R* , 均无明显的非特异性产物。因此 , 当引物与基因组模板存在错配 , 而引物 5' 末端存在连续的 2~7 个不匹配碱基时 , 并不影响荧光引物延伸反应特异性。当反向荧光引物存在自身二聚体时 , PCR 扩增效率会降低 , 但因延伸反应中引物较模板完全过量且是线性扩增 , 似乎 **GroEL1R* 的部分二聚体并未显著影响到引物延伸反应的定位和丰度测量 , *GroEL1* 的表达丰度显著高于 *GroEL2* , 与前期功能实验吻合^[15~16]。

合成荧光标记引物时 , 需明确荧光标记物与引物间的连接器。在做精确片段分析时 , 荧光基团的连接方式决定了校正参数的选择。磷氨基团连接器需选择 PA-Ver1 染料迁移校正 , 而激活的酯连接器则选 AE-Ver2 染料迁移校正。针对本文的 *groELs* , 由于 Cy5 荧光标记用的是磷氨基团连接器 , 所以选 PA-Ver1 染料迁移校正 , 此参数下分析的 *groEL2* 引物延伸片段大小分别为 56.92 bp 和 102.24 bp , *groEL1* 引物延伸片段大小为 89.14 bp 。如不进行校正则分析所得 *groEL2* 片段大小分别为 54.88 bp 和 100.54 bp *groEL1* 片段大小为 87.93 bp , 分别较实际值小 1~3 bp 左右。而误选 AE-Ver2 校正则 *groEL2* 片段大小为 50.41 bp 和 97.38 bp , *groEL1* 片段大小为 83.98 bp , 片段较实际值小 4~7 bp 左右。推测 2003 年 Fekete 等进行片段分析时因未能进行参数校正 , 所以检测结果存在几碱

基偏差^[13]。由此 , 正确校正参数进行分析 , 可省却辅助的平行测序反应 , 使基于片段分析的 TSS 检测技术仅在一根毛细管中即可完成 , 技术流程更为简便、高效。

片段分析仪以内标中片段迁移时间和片段大小为坐标绘制标准曲线 , 并得出标准曲线的共线性和标准偏差参数 , 由标准曲线及未知荧光片段的迁移时间即可得出片段的大小。然而通过标准曲线计算得到的片段大小并非整数 , 而实际的片段大小应该是整数。由此可见检测结果不可避免地存在微小测量误差 , 这种测量误差是由众多相互独立的各随机因素的微小影响叠加而成 , 因而符合正态分布^[25~26]。应用正态分布理论 , 我们可以评估所测结果匹配上某个真实整数值的概率并明确最可能的实际片段长度。

论文建立了一套从生物信息预测出发 , 基于片段分析系统的启动子转录起始位点鉴定和转录起始水平检测的完善技术方案 , 涉及 8 个技术环节 : 启动子预测分析、荧光标记引物的设计与合成、 RNA 制备、 RT-PCR 扩增、扩增产物纯化、荧光片段分离检测、数据分析处理和以及误差评估分析。我们已将该技术成功应用于埃博霉素生物合成基因簇启动子分析^[27] , 该技术方案可广泛应用于各物种来源的未知基因启动子起始位点鉴定分析和不同状态下相关基因转录起始丰度分析。

参 考 文 献

- [1] Sambrook J, Fritsch EF, Maniatis T. Molecular Cloning: A Laboratory Manual (2nd ed.). Cold Spring Harbor, NY: Cold Spring Harbor Laboratory, 1989.
- [2] Sambrook J, Russell DW. Molecular Cloning: A Laboratory Manual. 3rd ed. Cold Spring Harbor, NY: Cold Spring Harbor Laboratory, 2001.
- [3] Walmsley M, Leonard M, Patient R. Primer extension analysis of mRNA//Rapley R. The Nucleic Acid Protocols Handbook.

- Totowa, NJ: Humana Press, 2000, 195-199.
- [4] Wang J, Dong XB, Gao LX, Zhou DS, Yin Z, Zhang YQ. Transcriptional regulation of *hcp1* by H-NS in *Vibrio parahaemolyticus*. *Acta Microbiologica Sinica*, 2016, 56(1): 143-149. (in Chinese)
王洁, 董新波, 高丽晓, 周冬生, 殷喆, 张义全. H-NS蛋白对副溶血弧菌*hcp1*的转录调控. *微生物学报*, 2016, 56(1): 143-149.
- [5] Wang JY, Wang WS, Li X, Zhao H, Yang KQ. Progress in transcriptional studies. *Chinese Journal of Biotechnology*, 2015, 31(8): 1141-1150. (in Chinese)
王俊阳, 王为善, 李肖, 赵华, 杨克迁. 转录调控研究的方法学进展. *生物工程学报*, 2015, 31(8): 1141-1150.
- [6] Ni B, Zhang YQ, Huang XX, Yang RF, Zhou DS. Transcriptional regulation of *dps* by OxyR protein in *Yersinia pestis*. *Acta Microbiologica Sinica*, 2013, 53(7): 685-690. (in Chinese)
倪斌, 张义全, 黄新祥, 杨瑞馥, 周冬生. 鼠疫菌OxyR调控子蛋白对*dps*的转录调控机制. *微生物学报*, 2013, 53(7): 685-690.
- [7] Adolph MB, Webb J, Chelico L. Retroviral restriction factor APOBEC3G delays the initiation of DNA synthesis by HIV-1 reverse transcriptase. *PLoS One*, 2013, 8(5): e64196.
- [8] Yang YT, Yang GD, Liu SJ, Guo XQ, Zheng CC. Isolation and functional analysis of a strong specific promoter in photosynthetic tissues. *Science in China (Series C)*, 2003, 46(6): 651-660.
杨予涛, 杨国栋, 刘石娟, 郭兴启, 郑成超. 一个光合组织特异表达强启动子的分离及功能分析. *中国科学(C辑: 生命科学)*, 2003, 33(4): 298-306.
- [9] Therit B, Cheung JK, Rood JI, Melville SB. NanR, a transcriptional regulator that binds to the promoters of genes involved in sialic acid metabolism in the anaerobic pathogen *Clostridium perfringens*. *PLoS One*, 2015, 10(7): e0133217.
- [10] Voss H, Wirkner U, Jakobi R, Hewitt NA, Schwager C, Zimmermann J, Ansorge W, Pyerin W. Structure of the gene encoding human casein kinase II subunit beta. *Journal of Biological Chemistry*, 1991, 266(21): 13706-13711.
- [11] Myöhänen S, Wahlfors J. Automated fluorescent primer extension. *Biotechniques*, 1993, 14(1): 16-17.
- [12] Altermann E, Klein JR, Henrich B. Synthesis and automated detection of fluorescently labeled primer extension. *Biotechniques*, 1999, 26(1): 96-98, 101.
- [13] Fekete RA, Miller MJ, Chattoraj DK. Fluorescently labeled oligonucleotide extension: a rapid and quantitative protocol for primer extension. *Biotechniques*, 2003, 35(1): 90-94, 97-98.
- [14] Qi XT, Chai XQ, Chai TY. An improved primer extension method for detection of mRNA start-points using non-radioactive digoxigenin-labeling primers. *Biotechnology Letters*, 2007, 29(7): 1125-1128.
- [15] Wang Y, Zhang WY, Zhang Z, Li J, Li ZF, Tan ZG, Zhang TT, Wu ZH, Liu H, Li YZ. Mechanisms involved in the functional divergence of duplicated GroEL chaperonins in *Myxococcus xanthus* DK1622. *PLoS Genetics*, 2013, 9(2): e1003306.
- [16] Li J, Wang Y, Zhang CY, Zhang WY, Jiang DM, Wu ZH, Liu H, Li YZ. *Myxococcus xanthus* viability depends on GroEL supplied by either of two genes, but the paralogs have different functions during heat shock, predation and development. *Journal of Bacteriology*, 2010, 192(7): 1875-1881.
- [17] Wang Y, Li X, Zhang W, Zhou X, Li YZ. The *groEL2* gene, but not *groEL1*, is required for biosynthesis of the secondary metabolite myxovirescin in *Myxococcus xanthus* DK1622. *Microbiology*, 2014, 160(Pt 3): 488-495.
- [18] Goldman BS, Nierman WC, Kaiser D, Slater SC, Durkin AS, Eisen JA, Ronning CM, Barbazuk WB, Blanchard M, Field C, Halling C, Hinkle G, Iartchuk O, Kim HS, Mackenzie C, Madupu R, Miller N, Shvartsbeyn A, Sullivan SA, Vaudin M, Wiegand R, Kaplan HB. Evolution of sensory complexity recorded in a myxobacterial genome. *Proceedings of the National Academy of Sciences of the United States of America*, 2006, 103(41): 15200-15205.
- [19] Reese MG. Application of a time-delay neural network to promoter annotation in the *Drosophila melanogaster* genome. *Journal of Computational Chemistry*, 2001, 26(1): 51-56.
- [20] Gordon L, Chervonenkis AY, Gammerman AJ, Shahmuradov IA, Solovyev VV. Sequence alignment kernel for recognition of promoter regions. *Bioinformatics*, 2003, 19(15): 1964-1971.
- [21] Beckman Coulter Inc.. GenomeLab Fragment Analysis protocol. USA: Beckman Coulter Inc., 2007.
- [22] Henry R, Crane B, Powell D, Deveson LD, Li ZF, Aranda J, Harrison P, Nation RL, Adler B, Harper M, Boyce JD, Li J. The transcriptomic response of *Acinetobacter baumannii* to colistin and doripenem alone and in combination in an *in vitro* pharmacokinetics/pharmacodynamics model. *Journal of Antimicrobial Chemotherapy*, 2015, 70(5): 1303-1313.
- [23] Pan HW, Liu H, Liu T, Li CY, Li ZF, Cai K, Zhang CY, Zhang Y, Hu W, Wu ZH, Li YZ. Seawater-regulated genes for two-component systems and outer membrane proteins in *Myxococcus*. *Journal of Bacteriology*, 2009, 191(7): 2102-2111.

- [24] Liu H, Dong J, Liu MQ, Jin Q. A method of RNA isolation of bacterial from infected mammalian cells. *Acta Microbiologica Sinica*, 2004, 44(5): 672-675. (in Chinese)
刘红, 董杰, 刘墨青, 金奇. 一种从感染的培养细胞中分离细菌RNA的方法. *微生物学报*, 2004, 44(5): 672-675.
- [25] Tamhane AC, Dunlop DD. Statistics and data analysis: from elementary to intermediate. New Jersey: Prentice Hall, 2000.
- [26] Liang XY. Normality Test. Beijing: China Statistics Press, 1997. (in Chinese)
梁小筠. 正态性检验. 北京: 中国统计出版社, 1997.
- [27] Zhu LP, Li ZF, Sun X, Li SG, Li YZ. Characteristics and activity analysis of epothilone operon promoters from *Sorangium cellulosum* strains in *Escherichia coli*. *Applied Microbiology and Biotechnology*, 2013, 97(15): 6857-6866.

Transcriptional start site analysis based on genetic fragment analysis system: from prediction to data evaluation

Zhifeng Li^{1*}, Wenyuan Zhang¹, Yang Liu², Shaofeng Qu¹, Yan Wang¹, Liping Zhu¹, Yuezhong Li^{1*}

¹ State Key Laboratory of Microbial Technology, College of Life Science, Shandong University, Jinan 250100, Shandong Province, China

² School of Mathematics, Shandong University, Jinan 250100, Shandong Province, China

Abstract: [Objective] To establish a pipeline for unknown transcriptional start site (TSS) identification without radioactivity, we used genetic fragment analysis system and replenished two steps regarding prediction and evaluation. [Methods] We used unknown TSSs of *GroEL* genes from *M. xanthus* as a case. Firstly, we predicted the potential TSSs through bioinformatics databases. According to the prediction, we designed and synthesized fluorescence labeled primers to carry out the reverse transcription reactions. Further, we took advantage of the genetic fragment analysis system to identify TSSs with internal standards. Finally, we applied the normal distribution theory to evaluate the data. [Results] We determined the numbers, abundances and accurate sites of the TSSs: *GroEL1* has one promoter and the site is TSS₂₈₆, whereas *GroEL2* has two promoters, and the sites are TSS₅₄₈ and TSS₅₀₂. TSS₂₈₆ is 14.3 times more abundant than TSS₅₄₈ and TSS₅₄₈ is 13.8 times more than TSS₅₀₂. [Conclusion] The bioinformatics analyzing indicates the range for the experimental design. TSS determination through genetic fragment analysis system is safer, more automatic and accurate. Normal distribution theory further refines the reliability of results. Combination of the three techniques establishes a more complete pipeline of primer extension for unknown TSS determination.

Keywords: genetic fragment analysis system, transcriptional start site (TSS), transcriptional abundances, fluorescently labeled primer, primer extension, *Myxococcus*, *GroEL*

(本文责编：张晓丽)

Supported by the National Natural Science Foundation of China (31370123, 30900027), by the Research Fund for the Doctoral Program of Higher Education of China (200804221017) and by the Laboratory Construction Software Project of Shandong University (sy2008023)

*Corresponding author. Tel: +86-531-88363735; Fax: +86-531-88378067; E-mail: Zhifeng Li, lizhifeng@sdu.edu.cn; Yuezhong Li, lilab@vip.163.com

Received: 28 June 2016; Revised: 5 August 2016; Published online: 5 September 2016